

РЕКОНСТРУКЦИЯ ФИЛОГЕНИИ САРАНЧОВЫХ СЕМЕЙСТВА Acrididae (Orthoptera) НА ОСНОВЕ АНАЛИЗА НУКЛЕОТИДНЫХ ПОСЛЕДОВАТЕЛЬНОСТЕЙ ГЕНА 16S РИБОСОМНОЙ РНК МИТОХОНДРИЙ

© 2000 г. М. Л. Филипенко¹, О. А. Тимофеева¹, А. М. Гусаченко²,
М. Г. Сергеев², Л. В. Высоцкая²

¹ Новосибирский институт биоорганической химии Сибирского отделения Российской академии наук,
Новосибирск 630090; факс: (3832)33-36-77; e-mail: max@nibioch.nsc.ru

² Новосибирский государственный университет, Новосибирск 630090;
факс: (3832) 39-75-64; e-mail: cytolog@fen.nsu.ru

Поступила в редакцию 03.06.99 г.

Определена первичная последовательность двух фрагментов (137 и 174 пн) гена 16S рибосомной РНК митохондрий 9 видов саранчовых из трех подсемейств семейства Acrididae. Для филогенетической реконструкции использовали последовательности 12 видов саранчовых и сверчка *Acheta domesticus* в качестве внешней группы (часть данных из GeneBank Data Library (NCBI)). Подсемейства Acridinae и Locustinae в филогенетических деревьях располагаются в виде компактных групп. Положение *Celes scalozubovi* (Locustinae) внутри Acridinae неожиданно, что свидетельствует о его неясной филогении. Виды Catantopinae размещаются около корня Acridinae. Бутстреп-анализ дает значительную (55–100%) поддержку почти всем ветвям филогенетических деревьев.

Семейство настоящих саранчовых Acrididae включает в себя около 1100 родов и более 7000 видов [1]. Систематика этой группы разработана сравнительно хорошо, но филогенетические отношения между подсемействами и трибами до конца не выяснены, еще менее понятны взаимоотношения многих родов и видов. Обычные признаки, используемые в систематике, допускают возможность значительных разнотечений. В результате оценка положения одного и того же таксона разными авторами может быть существенно различной. Так, число подсемейств, на которые делят настоящих саранчовых, обитающих в пределах СНГ, колеблется от 2 [2, 3] до 15 [1].

Одним из возможных путей решения этой проблемы является сравнительный анализ нуклеотидных последовательностей ДНК саранчовых [4–6 и др.]. Для этой цели наиболее подходит митохондриальная ДНК. Ген 16S РНК большой субъединицы рибосом митохондрий был успешно использован для выяснения родственных взаимоотношений насекомых на уровне семейств и подсемейств, а также более высоком [6–8]. К настоящему времени определены нуклеотидные последовательности фрагмента гена 16S РНК у нескольких видов саранчовых интересующего нас семейства Acrididae, что позволяет привлечь эти данные для анализа.

МАТЕРИАЛЫ И МЕТОДЫ

В филогенетическом анализе использованы нуклеотидные последовательности 12 видов саранчовых семейства Acrididae и сверчка. Согласно точке зрения Бей-Биенко и Мищенко [9], эти виды принадлежат к подсемействам Acridinae (5 видов), Locustinae (=Oedipodinae) (4 вида) и Catantopinae (3 вида). Часть последовательностей взята из GenBank Data Libraries (Access Numbers: Z93284 – Z93286, Z93293, X80245, Y07553, AF020298, AF020299). Список исследованных видов приведен в таблице.

Саранчовых отлавливали в течение летних сезонов 1993–1997 гг. в различных районах Сибири. Выделяли семенники и помещали в 96%-ный этанол, после 2-кратной смены этанола хранили при 4°C. Кроме того, использовали материал, фиксированный по стандартной методике для цитогенетических исследований в смеси 96%-ного этанола и ледяной уксусной кислоты (3 : 1) после обработки 0.9%-ным цитратом натрия и хранящийся в 70%-ном этаноле при 4°C.

ДНК выделяли методом, описанным Чапко с соавт. [10].

Для сравнительного анализа нуклеотидных последовательностей митохондриального генома в области 16S рРНК использовали метод прямого секвенирования ПЦР-фрагментов. Для этого фрагмент размером 511 пн был амплифицирован с помощью праймеров 252 и 253 для 9 видов саранчовых. Дезоксирибоолигонуклеотидные прайме-

| | 1 | 11 | 21 | 31 | 41 | 51 |
|-----------------------------|------------|---------------------|-----------------------------|------------------------|----------------------|----------------------|
| 1. <i>A.aegiptium</i> | TTTTTCTTAA | TCCAACATCG | AGGTCGCAAT | CTGCTTGTC | GATATGAGCT | CTCAAAAACA |
| 2. <i>G.rufus</i> |C... | | | | A..... | ..C..... |
| 3. <i>S.scalaris</i> | | | | | A..... | ..A..... |
| 4. <i>Ae.sibiricus</i> |A... | | | | A..... | ..A..... |
| 5. <i>Ch.albomarginatus</i> | | | | | A..... | ..A..... |
| 6. <i>C.scalozubovi</i> | A..... | | | | G A..... | ..A..... |
| 7. <i>A.fusca</i> | | | | | G..... | ..G..... |
| 8. <i>B.tuberculatum</i> | ..AA..... | | | .CAT..... | A.....A..... | TG |
| 9. <i>Oe.caerulescens</i> | | | | C.CAT...A.T..... | A..A..... | TG |
| 10. <i>L.migratoria</i> | | | | .CAT.AC..... | A..A..... | TG |
| 11. <i>O.longipennis</i> | C.A..... | | | .AT..... | | T. |
| 12. <i>M.sanguinipes</i> | NNNN..... | | | | A..... | .. |
| 13. <i>A.domesticus</i> | NNNN..... | | | TTA.A.....A.....A..... | | C..T.AC |
| | 61 | 71 | 81 | 91 | 101 | 111 |
| 1. <i>A.aegiptium</i> | ATTACGCTGT | TAT-CCCTAA | GGTAACCTAA | TCTTATGATC | ATAAATTATG | GATCAAAATA |
| 2. <i>G.rufus</i> | | | | | | - |
| 3. <i>S.scalaris</i> | | - | | G..... | | - |
| 4. <i>Ae.sibiricus</i> | | - | | G..... | | - |
| 5. <i>Ch.albomarginatus</i> | | - | | G..... | | - |
| 6. <i>C.scalozubovi</i> | | - | | | A..... | - |
| 7. <i>A.fusca</i> | | - | | | | A- |
| 8. <i>B.tuberculatum</i> | | - | | | | - |
| 9. <i>Oe.caerulescens</i> | | - | | | | - |
| 10. <i>L.migratoria</i> | | - | | | A...C..... | - |
| 11. <i>O.longipennis</i> | | - | | A..... | | T.TA- |
| 12. <i>M.sanguinipes</i> | | - | | | | - |
| 13. <i>A.domesticus</i> | | c..... | T...T.....C..A.....C.TAGT.- | | | - |
| | 121 | 131 | 141 | 151 | 161 | 171 |
| 1. <i>A.aegiptium</i> | ACAAACATAA | ATCAATGATA | TTTTGAAGAG | CCGC GGTTATT | TTGACC GTGC | AAAGGTAGCA |
| 2. <i>G.rufus</i> | ---- |T..... |A..... | | | |
| 3. <i>S.scalaris</i> | ---- |G..... |T..... |C..... |T..... | |
| 4. <i>Ae.sibiricus</i> | ---- |T..... |T..... |NNNNNNNNNN |NNNNNNNNNN |NNNNNNNNNN |
| 5. <i>Ch.albomarginatus</i> | ---- |T..... |T..... |C.....A..... | | |
| 6. <i>C.scalozubovi</i> | ---- |T..... |T..... |A..... | | |
| 7. <i>A.fusca</i> | ---- |T..... |T..... |A..... | | |
| 8. <i>B.tuberculatum</i> | ---- |G..... |T..... |A..... | | |
| 9. <i>Oe.caerulescens</i> | ---- |T..... |T..... | | | |
| 10. <i>L.migratoria</i> | ---- |T..... |T..... |A...G..... |A..... | |
| 11. <i>O.longipennis</i> | ---- |T..... |T..... |A..... | |G..... |
| 12. <i>M.sanguinipes</i> | ---- |T..... |T..... |NNNNNNNNNN |NNNNNNNNNN |NNNNNNNNNN |
| 13. <i>A.domesticus</i> | ---- |GG.G.T.A..... |NNNNNNNNNN |NNNNNNNNNN |NNNNNNNNNN |NNNNNNNNNN |
| | 181 | 191 | 201 | 211 | 221 | 231 |
| 1. <i>A.aegiptium</i> | TAATCATTAG | TCTCTTAATT | GGTGGCTGGA | ATGAATGGCT | TGACGAGAAA | TCAACTGTCT |
| 2. <i>G.rufus</i> | |C..... |A.G..... | | | T..... |
| 3. <i>S.scalaris</i> | |C..... |A.A..... | | | T..... |
| 4. <i>Ae.sibiricus</i> | |NNNNNNNNNN |NNNNNNNNNN |NNNNNNNNNN |NNNNNNNNNN |NNNNNNNNNN |
| 5. <i>Ch.albomarginatus</i> | |NNNNNNNNNN |NNNNNNNNNN |NNNNNNNNNN |NNNNNNNNNN |NNNNNNNNNN |
| 6. <i>C.scalozubovi</i> | |A.A..... |A.A..... |T..... | |T..... |
| 7. <i>A.fusca</i> | |A..... |A..... |T..... | |T..... |
| 8. <i>B.tuberculatum</i> | |T..... |A..... |T..... | |T..... |
| 9. <i>Oe.caerulescens</i> | |T..... |AT..... |T..... | |T..... |
| 10. <i>L.migratoria</i> | |T..... |G.A..... |T..... | |TG..... |
| 11. <i>O.longipennis</i> | |T..... |A.A..... |T..... |A..... |C..... |
| 12. <i>M.sanguinipes</i> | |T..... |A.G..... |T..... | |T..... |
| 13. <i>A.domesticus</i> | |T..... |A..... |T..... |A.T.....AT..... | |
| | 241 | 251 | 261 | 271 | 281 | 291 |
| 1. <i>A.aegiptium</i> | CTTAATAAAT | TTTGAAATT | AACTTTGAG | TCAAAAGGCT | AAATTATTC | TTAGGACGA |
| 2. <i>G.rufus</i> | |AA..... | |T..... | |T..... |
| 3. <i>S.scalaris</i> | |AA..... | |C.....T..... | |A.T..... |
| 4. <i>Ae.sibiricus</i> | |NNNNNNNNNN |NNNNNNNNNN |NNNNNNNNNN |NNNNNNNNNN |NNNNNNNNNN |
| 5. <i>Ch.albomarginatus</i> | |NNNNNNNNNN |NNNNNNNNNN |NNNNNNNNNN |NNNNNNNNNN |NNNNNNNNNN |
| 6. <i>C.scalozubovi</i> | |AA..A..... |AA..A..... |T..... | |T..... |
| 7. <i>A.fusca</i> | |T..... |A..... |A..... | | -CT..... |
| 8. <i>B.tuberculatum</i> | |A..... |A..... |T..... | | ACT..... |
| 9. <i>Oe.caerulescens</i> | |AA..... |A..... |T..... | | A..... |
| 10. <i>L.migratoria</i> | |T..... |A..... |T..... | | A.T.....G..... |
| 11. <i>O.longipennis</i> | |T..... |A.A..... |T..... | | -T.....A..... |
| 12. <i>M.sanguinipes</i> | |T..... |AA.A..... |T..... | | T..A.A..... |
| 13. <i>A.domesticus</i> | |GG.G.G.TG..... |A..... |T..... | | C...GA..AA..AGG..... |
| | 301 | 311 | GAAGACCCTA | TAGAG | | |
| 1. <i>A.aegiptium</i> | | | | | | |
| 2. <i>G.rufus</i> | | | | | | |
| 3. <i>S.scalaris</i> | |NNNNNNNNNN |NNNN | | | |
| 4. <i>Ae.sibiricus</i> | | | | | | |
| 5. <i>Ch.albomarginatus</i> | | | | | | |
| 6. <i>C.scalozubovi</i> | | | | | | |
| 7. <i>A.fusca</i> | | | | | | |
| 8. <i>B.tuberculatum</i> | | | | | | |
| 9. <i>Oe.caerulescens</i> | | | | | | |
| 10. <i>L.migratoria</i> | | | | | | |
| 11. <i>O.longipennis</i> | | |C..... | | | |
| 12. <i>M.sanguinipes</i> | | |T..... | | | |
| 13. <i>A.domesticus</i> | | | | | | |

Виды, использованные в анализе

| № п.п. | Семейство, подсемейство, вид | Последовательность а | Последовательность б | Accession Numbers |
|--------|-----------------------------------|---|---|-------------------|
| | <u>Acridida</u> Acridinae | | | |
| 1. | Chorthippus albomarginatus (Deg.) | Наши данные | Наши данные | - |
| 2. | Stauroderus scalaris (F.d.W.) | Наши данные; [5, 6] | Наши данные; [5, 6] | Z93284 |
| 3. | Gomphocerus rufus (L.) | Наши данные; [5, 6] | [5, 6] | Z93285 |
| 4. | Aeropus sibiricus (L.) | Наши данные | - | - |
| 5. | Arcyptera fusca (Pall.) | Наши данные; [5, 6] | Наши данные; [5, 6] | Z93286 |
| | Locustinae | | | |
| 6. | Oedipoda caerulescens (L.) | [5, 6] | Наши данные; [5, 6] | Z93293 |
| 7. | Bryodema tuberculatum (F.) | Наши данные | Наши данные | - |
| 8. | Celes scalozubovi Adel. | » | » | - |
| 9. | Locusta migratoria L. | [10] | [10] | X80245 |
| | Catantopinae | | | |
| 10. | Ognevia longipennis (Shir.) | Наши данные | Наши данные | - |
| 11. | Anacridium aegyptium (L.) | Venanzetti, Pascuale, 1996, неопубл. данные | Venanzetti, Pascuale, 1996, неопубл. данные | Y07553 |
| 12. | Melanoplus sanguinipes (F.) | [8] | [8] | AF020298 |
| | <u>Gryllidae</u> Gryllinae | | | |
| 13. | Acheta domesticus (L.) | [8] | [8] | AF020299 |

ры [11] были синтезированы в НИБХ СО РАН и имели следующие структуры: 252 – CCGGTCT-GAACTCAGATCACGT, 253 – CGCCTGTTAT-CAAAAACAT.

В работе использовали *Taq*-ДНК-полимеразу ("Промикс", Россия), [³⁵S]dATP и секвенирующий набор "Sequenase 2.0" ("Amersham", Великобритания).

Амплификацию проводили в 50 мкл буфера, содержащего 67 мМ трис-HCl (рН 8.9), 16 мМ (NH₄)₂SO₄, 1.5 мМ MgCl₂, 0.01% твин-20, 100 мКМ dNTP, 1 мКМ праймеры, 2 ед. акт. *Taq*-ДНК-полимеразы и от 20 до 100 нг ДНК матрицы. Амплификацию проводили в течение 32 циклов в следующем режиме: денатурация – 1 мин при 94°C, отжиг праймеров – 1 мин при 55°C, элонгация – 1.5 мин при 72°C. ПЦР проводили на ДНК-амплификаторе "БИС" (пос. Кольцово, Новосибирская обл.). Полученные амплификационные смеси анализировали электрофорезом в 1.5%-ном агарозном геле с последующей визуализацией ДНК бромистым этидием [12].

Секвенирование проводили методом Сенгера с использованием набора "Sequenase 2.0" для сек-

венирования ПЦР продуктов ("Amersham") в соответствии с инструкциями фирмы-изготовителя.

Поиск гомологии нуклеотидных последовательностей, построение филогенетических деревьев и бутстреп-анализ проводили, используя программы VOSTORG (Институт цитологии и генетики СО РАН).

РЕЗУЛЬТАТЫ

В гене 16S рибосомной РНК митохондрий были определены две последовательности ДНК (а и б) протяженностью 137 и 174 пн. У 6 видов были секвенированы обе последовательности, у 3 только одна (см. таблицу). Кроме того, были привлечены литературные данные как по этим видам, так и по дополнительным: *Locusta migratoria* [13] – представитель подсемейства Locustinae, *Anacridium aegyptium* (неопубликованные данные Venanzetti, Pascuale, 1996) и *Melanoplus sanguinipes* [8], принадлежащих к подсемейству Catantopinae. В качестве представителя внешней группы выбран сверчок *Acheta domesticus* [8]. Выровненные нуклеотидные последовательности приведены на рис. 1.

Рис. 1. Нуклеотидные последовательности двух участков гена 16S рРНК а (1–141) и б (142–316) 12 видов саранчовых и сверчка *A. domesticus*. Вертикальные колонки означают позиции нуклеотидов, точка – нуклеотид, аналогичный таковому у *A. aegyptium*, тире – разрывы, необходимые для выравнивания, N – информация отсутствует. Начало последовательности б отмечено стрелкой.

Последовательность b (137 пн)

| | 1 | 11 | 21 | 31 | 41 | 51 |
|--------------------|-------------|------------|-------------|------------|------------|------------|
| <i>G. rufus</i> | TTTTTCCCTAA | TCCAACATCG | AGGTGCAAT | CTGCTTGTC | AATATGAGCT | CTCAAAAACA |
| <i>G. rufus</i> | | | | | | A..... |
| <i>A. fusca</i> | | T..... | | | G..... | |
| <i>A. fusca</i> | | T..... | | | | |
| <i>S. scalaris</i> | | T..... | | | | A..... |
| <i>S. scalaris</i> | | T..... | | | | A..... |
| <i>G. rufus</i> | 61 | 71 | 81 | 91 | 101 | 111 |
| <i>G. rufus</i> | ATTACGCTGT | TATCCCTAAG | GTAACCTTAAT | CTTATGATCA | AAAATTATGC | ATCAAAATAA |
| | | | | | | |
| <i>A. fusca</i> | | | | | | AT..... |
| <i>A. fusca</i> | | | | | | AT..... |
| <i>S. scalaris</i> | | | | C..... | | |
| <i>S. scalaris</i> | | | | G..... | | |
| <i>G. rufus</i> | 121 | 131 | | | | |
| <i>G. rufus</i> | ACATAAATTA | ATGATTT | | | | |
| | | | | | | |
| <i>A. fusca</i> | | | | | | |
| <i>A. fusca</i> | | | | | | |
| <i>S. scalaris</i> | | G..... | | | | |
| <i>S. scalaris</i> | | A..... | | | | |

Последовательность b (174 пн)

| | 1 | 11 | 21 | 31 | 41 | 51 |
|-------------------------|------------|------------|------------|------------|-------------|-------------|
| <i>Oe. caerulescens</i> | TTTGAAGAGC | CGCGGTATTT | TGACCGTGCA | AAGGTAGCAT | AATCATTAGT | TTTTTAATTG |
| <i>Oe. caerulescens</i> | | | | | | C..... |
| <i>A. fusca</i> | | A..... | | | | C.C.....A |
| <i>A. fusca</i> | | A..... | | | | C.C.....A |
| <i>S. scalaris</i> | | A..... | C..... | | | C.C.C.....A |
| <i>S. scalaris</i> | | A..... | | T..... | | C.C.....A |
| <i>Oe. caerulescens</i> | 61 | 71 | 81 | 91 | 101 | 111 |
| <i>Oe. caerulescens</i> | GATGCTGGAA | TGAATGGTTT | GACGAGAAAT | TAACTGTCTC | TTAATAAATT | ATAAAATTAA |
| | | | | | | |
| <i>A. fusca</i> | | G..... | C..... | | T..... | T.G..... |
| <i>A. fusca</i> | | G..... | C..... | | T..... | T.T.C..... |
| <i>S. scalaris</i> | | G..... | C..... | | | T..... |
| <i>S. scalaris</i> | | G..... | C..... | | | T..... |
| <i>Oe. caerulescens</i> | 121 | 131 | 141 | 151 | 161 | 171 |
| <i>Oe. caerulescens</i> | ACTTTTAAGT | AAAAAGGCTT | AAATATATCT | TTAGGACGAG | AAGACCCSTAT | AGAG |
| | | | | | | |
| <i>A. fusca</i> | | C..... | | -CT..... | | |
| <i>A. fusca</i> | | C..... | | T..... | | |
| <i>S. scalaris</i> | | GC..... | | T..... | | |
| <i>S. scalaris</i> | | G..... | | T.T..... | | |

Рис. 2. Внутривидовая изменчивость у некоторых видов. Полужирным шрифтом выделены последовательности из Gen Bank Data Libraries (см. таблицу).

Наличие литературных данных позволило оценить внутривидовую изменчивость для некоторых видов (рис. 2). В последовательности а внутривидовые различия только по одному нуклеотиду обнаружены у *Arcyptera fusca*, *Stauroderus scalaris* и *Gomphocerus rufus*. В последовательности б максимальные внутривидовые различия найдены у *S. scalaris* (3 нуклеотида), у *A. fusca* и *Oedipoda caerulescens* – 1 и 2 нуклеотида соответственно. Внутривидовая изменчивость имеет низкий уровень (5% от суммарной в 73 нуклеотида), что

позволяет использовать эти последовательности для кладистического анализа [10].

Размер выбранных для окончательного анализа последовательностей был разным (см. рис. 1). Для того чтобы не терять полезной для построения древа информации, мы сформировали три набора последовательностей. В первый набор вошли участки а (1–141 пн) видов № 2–11 (см. таблицу). Изменчивость наблюдалась по 23 позициям. Древо, построенное с помощью метода WPGMA, изображено на рис. 3. Второй набор включал участки а и б (1–141 и 142–315 пн) последовательнос-

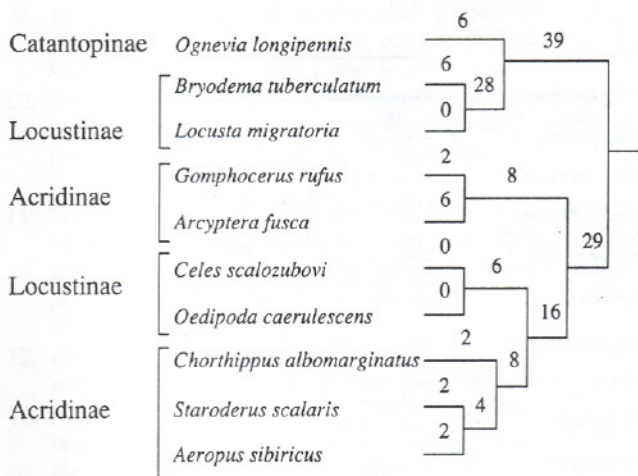


Рис. 3. Филогенетическое дерево, построенное для набора видов 1 с помощью метода WPGMA, дистанция выражена в числе мутировавших сайтов.

тей тех же видов, за исключением *Aeropus sibiricus* (№ 2, 3, 5–11, см. таблицу). Изменчивость в этом случае наблюдалась по 73 позициям. Соответствующее дерево показано на рис. 4. В третьем наборе объединены укороченные на 26 пн участки а и б (5–141 и 164–315 пн) из 13 видов (рис. 5, а, б), кладистически информативными оказались 104 позиции. Для наборов 2 и 3 проведен бутстреп-анализ.

ОБСУЖДЕНИЕ

Деревья, построенные для набора 2 методом современного предка и NJ-методом, совпадали, одно из них приведено на рис. 4. Бутстреп-анализ, проведенный по методу Джукса–Кантора при 10000 репликациях, показывает высокую достоверность объединения в группы. Древо набора 2 хорошо соответствует точке зрения, принятой в отечественной таксономии [9]. В нем выделяются три блока, соответствующие трем подсемействам Acrididae: Catantopinae (*Ognevia longipennis*), Locustinae (*L. migratoria*, *Bryodema tuberculatum*, *Oe. caerulescens* – достоверность 95.3%) и Acridinae (*A. fusca*, *G. rufus*, *S. scalaris*, *Chorthippus albomarginatus* – достоверность 93%).

В группе Acridinae *A. fusca* расположен у основания в соответствии с его обособленным таксономическим положением относительно других видов подсемейства. *Ae. sibiricus* также попадает в эту группу в древе 1 (рис. 3).

Позиция *Celes scalozubovi* (Locustinae) неожиданна: он располагается среди видов подсемейства Acridinae в деревьях, приведенных на рис. 4 и 5. Это свидетельствует об обособленном положении вида, по крайней мере, в подсемействе Locustinae. Такое своеобразие *C. scalozubovi* подчеркивается и его не вполне обычными цитогенетичес-

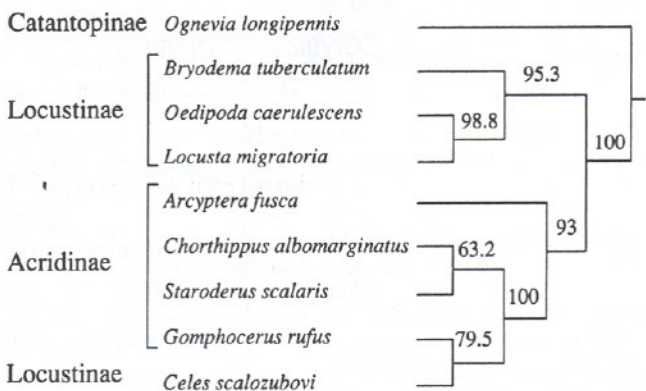


Рис. 4. Филогенетическое дерево, построенное для набора видов 2. Результат бутстреп-анализа NJ-дерева по методу Джукса–Кантора после 10000 репликаций, в качестве реперной выбрана последовательность *O. longipennis*. Здесь и на рис. 5, б достоверность топологии выражена в процентах.

кими параметрами [14]. Поэтому необходимо дальнейшее всестороннее исследование этого восточно-палеарктического вида, в том числе вероятна и переоценка его таксономического положения.

Филогенетические деревья для набора 3, включающего дополнительные виды, показаны на рис. 5. Относительное расположение видов базового набора в общих чертах сохраняется. У общего основания теперь оказывается сверчок *A. domesticus*. Обращает на себя внимание положение видов подсемейства Catantopinae. В древе, построенном методом UPGMA (рис. 5, а), они расположены дисперсно, находясь как у корня семейства (*O. longipennis*), так и ближе к основанию групп подсемейства Acridinae (*M. sanguinipes* и *A. aegiptium*). В древе, построенном NJ-методом (рис. 5, б), все три вида располагаются у основания Acridinae. Достоверность их принадлежности к ветви Acridinae, оцененная бутстреп-анализом, составляет 93.5%.

Такое положение может свидетельствовать о более высоком уровне изменчивости в подсемействе Catantopinae по сравнению с другими подсемействами. Оно согласуется с существующей точкой зрения о том, что подсемейство Catantopinae наиболее близко к истокам семейства Acrididae [15], а также может быть использовано для поддержки идеи о выделении этого таксона в самостоятельное семейство [16]. Кроме того, размещение исследованных видов Catantopinae может служить подтверждением точки зрения, основанной на цитогенетических и морфоадаптационных данных, о том, что эта группа вместе с представителем трибы Arctopterini *A. fusca* наиболее близка к предковым формам подсемейства Acridinae [17].

Исследования выполнены при частичной финансовой поддержке Российского фонда фунда-

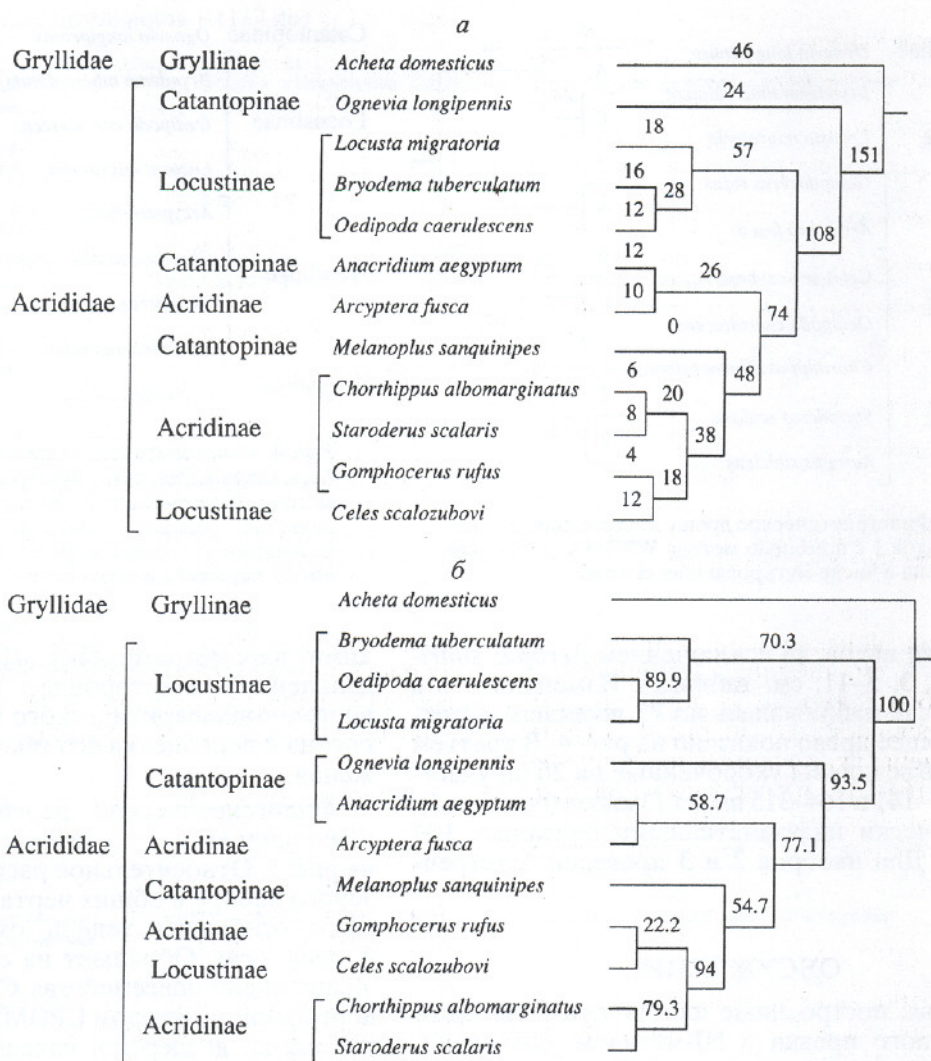


Рис. 5. Филогенетические древа, построенные для набора видов 3: а – метод UPGMA, дистанция выражена в числе мутаций, б – NJ-метод, в качестве реперной выбрана последовательность сверчка *A. domesticus*, бутстреп-анализ по методу Джукса–Кантора после 10000 репликаций.

ментальных исследований (грант 96-04-50097) и программы "Университеты России".

СПИСОК ЛИТЕРАТУРЫ

- Vickery V.R. Classification of the Orthoptera (*sensu stricto*) or Caelifera // The bionomics of grasshoppers, katydids and their kin. Wallingford; New York: CAB Internat., 1997. P. 5–40.
- Сергеев М.Г. Закономерности распространения прямокрылых насекомых Северной Азии. Новосибирск: Наука, 1986. 237 с.
- Стороженко С.Ю. Отряд Orthoptera (Saltatoria) – Прямокрылые (прыгающие прямокрылые). Определитель насекомых Дальнего Востока. Т. 1. Л.: Наука, 1986. С. 241–317.
- Chapco W. Molecular evolutionary genetics in Orthopteroid insects // The bionomics of grasshoppers, katydids and their kin. Wallingford; New York: CAB Internat., 1997. P. 337–354.
- Flook P.K., Rowell C.H.F. The phylogeny of the Caelifera (Insecta, Orthoptera) as deduced from mtRNA gene sequences // Mol. Phylogen. Evol. 1997. V. 8. № 1. P. 89–103.
- Flook P.K., Rowell C.H.F. The effectiveness of mitochondrial rRNA gene sequences for the reconstruction of the phylogeny of an insect order (Orthoptera) // Mol. Phylogen. Evol. 1997. V. 8. № 2. P. 177–192.
- Flook P.K., Rowell C.H.F. Inferences about orthopteroid phylogeny and molecular evolution from small subunit nuclear ribosomal DNA sequences // Insect Mol. Biol. 1998. V. 7. № 2. P. 163–178.
- Chapco W., Martel R.K.B., Kuperus W.R. Molecular phylogeny of North American bang-winged grasshoppers (Orthoptera: Acrididae) // Ann. Entomol. Soc. Am. 1994. V. 90. № 5. P. 555–562.

9. Бей-Биенко Г.Я., Мищенко Л.Л. Саранчовые фауны СССР и сопредельных стран. Т. 1–2. М.; Л.: Изд-во АН СССР, 1951. 667 с.
10. Chapco W., Kelln R.A., McFadyen D.A. Intraspecific mitochondrial DNA variation in the migratory grasshopper, *Melanoplus sanguinipes* // Heredity. 1992. V. 69. P. 547–557.
11. Simon C., Frati F., Beckenbach A. et al. Evolution, weighting and phylogenetic utility of mitochondrial gene sequences and a compilation of conserved PCR primers // Ann. Entomol. Soc. Am. 1994. V. 87. P. 651–701.
12. Маниатис Т., Фрич Э., Сэмбрук Дж. Молекулярное клонирование. М.: Мир, 1984. 480 с.
13. Flook P.K., Rowell C.H.F., Gellissen G. The sequence, organisation and evolution of *Locusta migratoria* mitochondrial genome // J. Mol. Evol. 1995. V. 41. № 6. P. 928–941.
14. Высоцкая Л.В., Агапова О.А., Олимова Д.Ч. Распределение хиазм и синапсис хромосом у видов саранчовых подсемейства Oedipodinae // Генетика. 1995. Т. 31. № 4. С. 471–476.
15. Мищенко Л.Л. Насекомые прямокрылые. Т. 4. Вып. 2. Саранчовые (Catantopinae). М.; Л.: Изд-во АН СССР, 1952. 610 с.
16. Dirsh V.M. Classification of the Acridomorphic insects. Faringdon: E.W. Classey Ltd., 1987. 171 p.
17. Стебаев И.В., Бугров А.Г., Высоцкая Л.В. Анализ филогенетических отношений короткоусых прямокрылых (Orthoptera, Caelifera, Eumastacoidea и Acridoidea) фауны СССР на основании синтеза цитогенетических, таксономических и экологических данных // Журн. общ. биол. 1984. Т. 45. № 4. С. 456–471.

Reconstruction of the Phylogeny of Grasshoppers from the Family Acrididae (Orthoptera) Based on the Mitochondrial 16S Ribosomal RNA Gene Sequence

M. L. Filipenko¹, O. A. Timofeeva¹, A. M. Gusachenko², M. G. Sergeev², and L. V. Vysotskaya²

¹ Novosibirsk Institute of Bioorganic Chemistry, Russian Academy of Sciences, Novosibirsk, 630090 Russia;
fax: (3832)33-36-37; e-mail: max@nibioch.nsc.ru

² Novosibirsk State University, Novosibirsk, 630090 Russia;
fax: (3832) 39-75-64; e-mail: cytolog@fen.nsu.ru

The sequences of two mitochondrial 16S RNA gene fragments (137- and 174-bp in size) were determined in nine grasshopper species belonging to three Acrididae subfamilies. Phylogenetic reconstruction was performed using the sequences of twelve grasshopper species and the cricket *Acheta domesticus* sequence as an outgroup (some data were purchased from the GeneBank Data Library (NCBI)). In the phylogenetic tree, the Acridinae and Locustinae formed compact groups. An unexpected position of *Celes scalozubovi* (Locustinae) within the subfamily Acridinae indicated its vague phylogeny. The Catantopinae species lied close to the base of the Acridinae. Almost all branches of phylogenetic trees were strongly (55 – 100%) supported by bootstrap analysis.